

Si 기판 Si_3N_4 - SiO_2 rib형 광도파로의 매립형
Bragg 반사 광회로 제작과 유효굴질률의 계산
Fabrication of buried Si_3N_4 - SiO_2 rib waveguide Bragg reflectors
on Si and calculation of effective reflective indices

이 형 종*, 이 용 타**, 강 민 호**, 이 상 수***

* : 전남대학교 물리학과

** : 전자통신연구소

*** : 한국과학기술원 물리학과

ABSTRACT

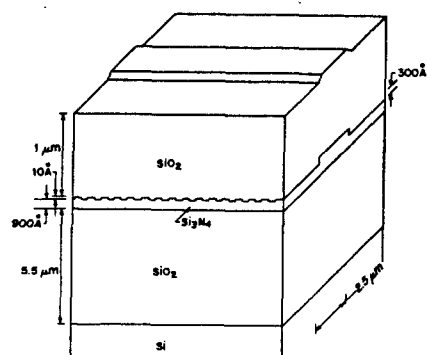
Buried Bragg reflectors which are immune to the contamination of the surface of an optical waveguide chip are fabricated on Si_3N_4 - SiO_2 rib optical waveguides on Si. The effective refractive indices and the bandwidths of the fabricated buried Bragg reflector waveguides are determined by transmission measurement. We show that the measured values of the effective refractive indices are consistent with the calculated values as the width of the waveguide rib varies. Propagation losses of the guided modes due to the leakage into the Si substrate are also calculated.

도파로의 취급시에 격자 표면의 오염에 매우 취약하다. 또한 이 방법은 제작된 회로를 접착제 등을 사용하여 광섬유와 접합시킬 때 격자를 오염시킬 가능성이 높다. 본 연구에서는 Si_3N_4 광도파충에 적절 격자를 제작하는 기법을 연구하여 광회로의 특성이 기판 표면의 오염에 무관한 매립형 브래그 반사 광회로를 제작하는 방법을 개발하였다. 매립형 브래그 반사 광회로는 표피층에 격자를 제작하지 않으므로, 온도에 대한 굴질률의 변화가 큰 Si-rubber 등을 표피층으로 사용하여 가변파장 브래그 광반사기를 제작하는 데에도 이용할 수 있는 장점이 있다.

2. 매립형 브래그 반사 광회로의 제작 및 특성 측정

1. 서론

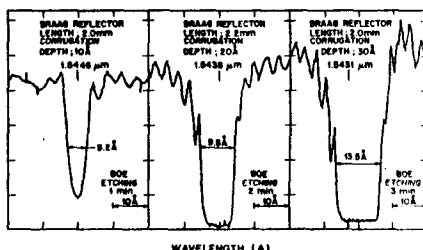
브래그(Bragg) 반사 광도파로는 브래그 반사 광도파로의 반사 격자가 갖는 고분해 특성때문에 광필터⁽¹⁾, 광공진기⁽²⁾, DFB LD(distributed feedback laser diode) 또는 브래그 반사 광도파로 레이저 다이오드⁽³⁾ 등에 많은 광통신 및 광 신호처리의 용용에 있어서 매우 중요한 소자이다. 현재까지 Si 기판의 Si_3N_4 광도파로 기술에서 브래그 반사기의 제작은 SiO_2 표피층에 반사 격자를 제작하는 방법이⁽⁴⁾ 주로 사용되어 왔으나 이 방법은 격자가 도파로의 표면에 노출이 되어 광



(그림 1) Si_3N_4 - SiO_2 매립형 브래그 반사 광도파로의 구조

메탈형 브래그 반사기의 구조는 그림 1과 같다. Si 위의 SiO_2 층과 Si_3N_4 층은 LPCVD(low pressure chemical vapor deposition) 방법으로 제작하며⁽⁵⁾, 이때 SiO_2 층의 증착시, SiO_2 층의 균열(cracking)을 방지하기 위하여 P_2O_5 를 SiO_2 내에 2%(wt.)가 되도록 SiO_2 와 동시에 증착한다. 제작된 Si_3N_4 층 위에 photolithography 방법으로 rib형의 광도파로를 식각하고, 다시 500Å의 Cr을 증착시켜 photolithography 방법에 의해 흐로그래픽 회절격자를⁽⁴⁾ Cr층에 제작한다. Cr층에 제작된 격자를 Si_3N_4 의 식각 마스크(mask)로 이용되며, BOE(buffered oxide etchant; 9 NH_4F :1HF)로서 Si_3N_4 를 10-30 Å 정도 식각하여, Si_3N_4 격자층을 제작한다. Si_3N_4 의 식각으로는 보통 H_3PO_4 (80°C)를 사용하나⁽⁵⁾ 그 식각 속도가 크고 식각 깊이를 조절하기가 힘들다. 그러나 BOE는 그 식각정도가 10A/min 정도로서 매우 작고 그 조절이 용이할 뿐만 아니라 비교적 균일한 식각을 할 수 있다는 장점이 있다. 제작된 Si_3N_4 격자 위의 Cr은 CAN(ceric ammonium nitrate 18%, acetic acid 5% 수용액)으로 제거하고 다시 $1\text{H}_2\text{O}_2$: $1\text{H}_2\text{SO}_4$ (80°C)에 15분간 처리한다. 그 위에 SiO_2 포피층을 증착하여 메탈형 브래그 반사 광회로를 완성한다.

메탈형 브래그 반사광회로의 투과 스펙트럼은 그림 2와 같다. 측정광원은 1.5μm 투반사증착 LD를 사용하고, 투과 스펙트럼은 현미경 대물렌즈 40X로 입력 및 출력의 광도파로 단면에 초점을 맞추어 분광기와 Ge



(그림 2) Si_3N_4 - SiO_2 메탈형 브래그 반사 광도파로의 반사 격자 깊이에 대한 투과 스펙트럼의 변화

광검출기를 사용하여 측정하였다.

길이 L, 도파손실 α인 브래그반사 광도파로의 장(field) 반사율은⁽⁶⁾

$$r = ik / [\mu \coth(\mu L) - (i\Delta\omega/v_g - \alpha/2)] \quad (1)$$

로 주어지며, $\kappa=1/L_B$ 는 결합(coupling)상수, v_g 는 군속도, $\Delta\omega$ 는 공진 반사폭의 중심에서부터 주파수이며, $\mu^2=\kappa^2 + [i\Delta\omega/v_g - \alpha/2]^2$ 이다. $L=2L_B$ 일때 투과 스펙트럼의 반치폭은⁽¹⁾

$$\Delta\lambda=7.1/L_B \quad (\Delta\lambda:A, L_B:\text{mm}) \quad (2)$$

로 주어지며, $L=2L_B$ 일때 반사율 $R(=r^2)$ 은 93%이다.

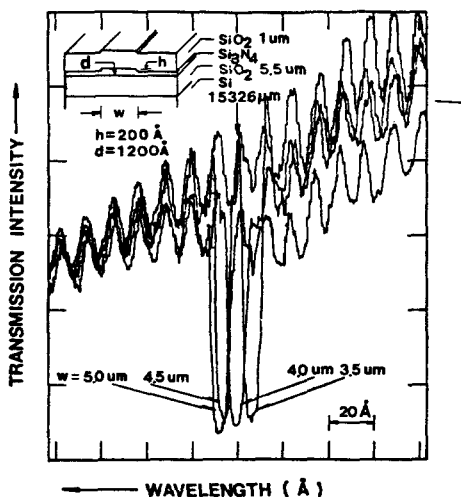
모드 커플이론(coupled mode theory)을⁽⁷⁾ 이용하여 Si_3N_4 격자의 깊이로부터 브래그 반사폭 $\Delta\lambda$ 를 구하면 그림1과 같은 도파로의 경우 격자깊이 10A당 브래그 반사폭 5A이 계산되었다. 이 계산 결과는 그림2와 잘 일치한다. 또한 그림2에서 Si_3N_4 의 식각 시간에 따라 선형적으로 투과 스펙트럼이 변하고 있으며 이는 BOE에 의한 Si_3N_4 의 식각이 수십 A 정도의 미세한 식각의 경우에도 시간에대해 선형적임을 나타낸다.

3. Rib형 광도파로의 이론계산 및 유효굴절률 측정

광도파로의 제작시 광도파로의 유효굴절률과 광손실률은 그 도파로의 도파특성을 결정하는 중요한 요소들이다. 메탈형 브래그 반사 광회로의 경우 광도파로의 유효굴절률을 브래그반사를 이용하여 측정하였으며, 도파로의 폭에 따른 유효굴절률의 변화를 조사하였다. 또한 rib형 광도파로의 이론으로부터 도파로의 유효굴절률과 Si기판에의 광손실률을 계산하였다. 그림3은 rib의 높이 h가 200 Å이고, Si_3N_4 층의 두께 d가 1200 Å 일때 rib의 폭 3.5-5 μm에대한 투과스펙트럼을 측정한 것이다. 유효굴절률 n_{eff} 는

$$n_{eff}=\lambda_B/2\Lambda \quad (3)$$

로 주어지며, 여기서 λ_B 는 브래그 반사의 중심파장이다.

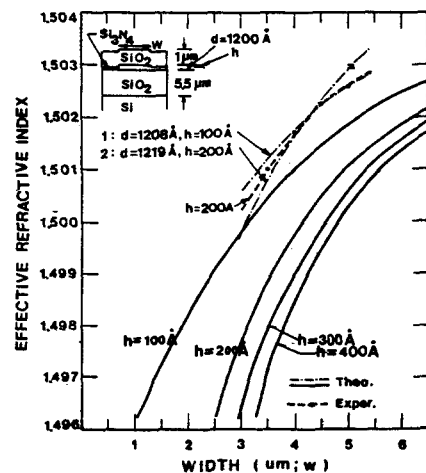


(그림 3) Rib폭의 변화에 대한 rib형 Si_3N_4 - SiO_2 브래
그 반사 광도파로의 투과 스펙트럼 변화

Λ 는 격자주기이며 He-Ne 레이저를 이용하여 격자의 회절각을 측정하여 구할 수 있다. 측정된 Λ 는 5103 Å이고 그림3의 λ_B 와 (3)식으로부터 n_{eff} 를 구한다. 그림4에는 λ_B 의 측정에 의한 n_{eff} 값과 d와 h의 변화에 대한 이론계산치 n_{eff} 를 나타내었다. rib형 2차원 광도파로의 계산에는 유효굴절률방법(effective index method)을 사용하였다.⁽⁶⁾ 계산에 의하면 h가 일정할 때 d의 변화에 대한 n_{eff} -w곡선은 일정한 값 만큼 상하로 이동된다. 즉 정지와의 비교를 위해 d를 변화시켜 측정치에 근사하게 일치하는 h가 100 Å과 200 Å인 광도파로의 유효굴절률을 계산하여 측정치와 함께 파선으로 나타내었다.

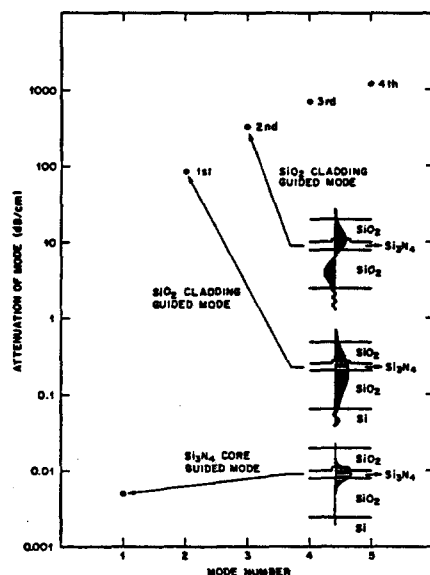
그림4에서 측정치 파선의 기울기에 의하면 rib의 높이 h는 200 Å이 아니고 150 Å 정도임을 알 수 있다. 여기서 Si_3N_4 의 두께 d를 변화시킨 것은 Si_3N_4 박막의 제작시 d에 대한 정밀도의 한계가 수십 Å임을 고려한 것이다.

도파 광모드들의 손실률, 즉 Si 기판($n=3.48$)으로 빠져나가는 광의 손실률은 그림5에 나타내었다. Si_3N_4 층을 도파층으로 하는 광모드는 그 손실률을 무시할 수 있을정도의 작은 값임을 나타내고 있으며, SiO_2 - Si_3N_4



(그림 4) Rib형 Si_3N_4 - SiO_2 광도파로의 유효굴절률 계
산 결과

N_4 - SiO_2 의 3층을 도파층으로 하는 광모드의 손실률은 약 100dB/cm 이상의 큰 손실률을 나타내고 있다. 따라서 Si과 Si_3N_4 층을 격리해주는 SiO_2 층의 두께가 5.5 μm 이상이면 Si 기판에 의한 Si_3N_4 도파광모드손실의 효과는 무시할 수 있음을 알 수 있다.



(그림 5) Si 기판의 Si_3N_4 - SiO_2 광도파로의 Si 기판에
의한 도파 손실률 계산 결과

4. 결론

광회로 기판의 오염에 무관한 배립형 브래그반사 광도파트를 rib형 $\text{SiO}_2\text{-Si}_3\text{N}_4$ 광도파트상에 제작하고, 투과 스펙트럼을 측정하여 브래그반사 대역폭과 브래그 반사 계자깊이와의 관계를 조사하였다. BOE에의한 Si_3N_4 의 식각법이 수십 Å 깊이의 미세한 식각에 사용될 수 있음을 보였고, 이때 시간에대해 식각 깊이가 거의 선형적임을 보였다. 또한 rib형 광도파트의 경우 rib의 폭과 높이 따른 유효굴절률과 Si 기판에 의한 도파방의 손실률을 계산했으며, 투과 스펙트럼에 의해 측정한 유효굴절률은 rib의 폭이 변함에 따라서 이론 계산치와 잘 일치함을 보였고, Si 기판에의한 Si_3N_4 에 도파되는 광의 손실률은 기저 SiO 층의 두께가 5 μm 보다 크면 무시할 수 있을 정도임을 보였다.

참고문헌

1. H. J. Lee, N. A. Olsson, C. H. Henry, et.al., *Appl. Opt.* 27, 211(1988)
2. C. H. Henry, R. F. Kazarinov, H. J. Lee, et.al., *IEEE J. Quan. Elect.* QE-23, 1426(1987)
3. N. A. Olsson, C. H. Henry, R. F. Kazarinov, et.al., *Appl. Phys. Lett.* 51, 92(1988); *Appl. Phys. Lett.* 51, 1141(1987)
4. H. J. Lee, *Appl. Opt.* 27, 1199(1988)
5. John L. Vossen and Werner Kern, "Thin Film Processes", Academic Press New York, 1978
6. S. L. McCall and P. M. Platzman, *IEEE J. Quan. Elect.* QE-21, 1899(1985)
7. Lynn D. Hutcheson, "Integrated Optical Circuits and Components", Marcel Dekker Inc. New York, 1987
8. M. J. Adams, "An Introduction to Optical Waveguides", John Wiley New York, 1981